УДК 550.93:551.71

ГЕОХРОНОЛОГИЯ СИЛЛИМАНИТ-КОРДИЕРИТОВЫХ ГНЕЙСОВ АТАМАНОВСКОЙ СЕРИИ ЮЖНО-ЕНИСЕЙСКОГО КРЯЖА (РОССИЯ)

© 2017 г. А. М. Сазонов*,**, К. А. Заблоцкий***, У. Линнеманн***, Е. А. Звягина*,**, Н. А. Некрасова*,**, Е. А. Наумов****, С. А. Сильянов*,**

*Сибирский федеральный университет 660041, г. Красноярск, просп. Свободный, 79 E-mail: sazonov_am@mail.ru

**Научно-исследовательский Томский госуниверситет, 634050, г. Томск, просп. Ленина, 36

***"Красноярскгеология"

660000, г. Красноярск, просп. Мира, 62

***Музей минералогии и геологии

Германия, D-01109, г. Дрезден, Кенигсбрюкер-штрассе, 159

****Унститут геологии и минералогии СО РАН 630090, г. Новосибирск, просп. Акад. Коптюга, 3

Поступила в редакцию 13.05.2016 г.

Принята к печати 04.07.2016 г.

В статье приводится обоснование палеоархейского возраста (3221 ± 15 млн лет) гранулитового плутонометаморфизма, сформировавшего канский метаморфический комплекс архейской коры Ангаро-Канского блока Сибирского кратона. Датировка возраста произведена по циркону, рассчитанная по ²⁰⁷Pb/²⁰⁶Pb. Циркон выделен из кордиерит-силлиманитового гнейса атамановской серии. В гнейсе присутствуют цирконы мезоархейского, раннепалеопротерозойского и раннепротерозойского возрастов, характеризующие последовательные тектоно-магматические события, отразившиеся в палеометаморфите.

Ключевые слова: Сибирский кратон, Ангаро-Канский блок, атамановская серия, гнейс, циркон, палеоархей.

ВВЕДЕНИЕ

Атамановская метасерия в разрезе архея Ангаро-Канского блока Сибирской платформы считается вышележащей по отношению к кузеевской, слагающей канский метаморфический комплекс (Легенда..., 2002). Обе толщи представляют собой слоистые образования чередующихся гнейсов разного минерального состава (гранатовые, гиперстеновые, кордиеритовые и т. д.) и зернистости. По зернистости породы делятся на гнейсы и гранулиты. Более крупнозернистые породы обычно называют гнейсами. Первичная слоистость осложнена разновозрастными проявлениями сланцеватости, метаморфической дифференциации, милонитизации, мигматизации.

Наряду с уничтожением текстурных элементов седиментогенного наслоения полосчатыми проявлениями метаморфогенного преобразования породы смяты в птигматитовые складки, нарушены разрывами нескольких порядков. Это является причиной неоднозначного восприятия стратиграфического взаимоотношения кузеевской и атамановской метасерий (Легенда..., 2002). Со времени их первого подробного геологического описания (Кузнецов,

1941) накопился изотопно-геохронологический материал (Бибикова и др., 1993; Волобуев и др., 1980; Ковригина, 1971; Лиханов и др., 2010, 2014; Ножкин и др., 2009, 2010; Попов и др., 2010; Туркина, 2010; Туркина и др., 2012) составлены геологические карты масштабов 1 : 200 000 и 1 : 50 000 на территорию региона, но стратиграфия, возраст толщ и их главные рубежи преобразования остаются дискуссионными (Лиханов и др., 2010, 2014; Ножкин и др., 2009, 2010; Попов и др., 2010; Сазонов и др. 2010; Туркина, 2010; Туркина и др., 2012) и требуют дальнейших исследований.

Нами проведены изучение петрографического состава, изотопное датирование архейской толщи в пределах участка Енисейского, расположенного на юго-западе Ангаро-Канского блока Сибирской платформы. Толща архейских пород участка отнесена К.А. Заблоцким к атамановской метасерии (рис. 1).

ГЕОЛОГИЧЕСКОЕ СТРОЕНИЕ, ПЕТРОГРАФИЧЕСКИЙ СОСТАВ УЧАСТКА

Участок расположен на северо-восточном крыле куполообразной гнейсовой структуры, шарнир которой погружается под углами 5–20° на северо-

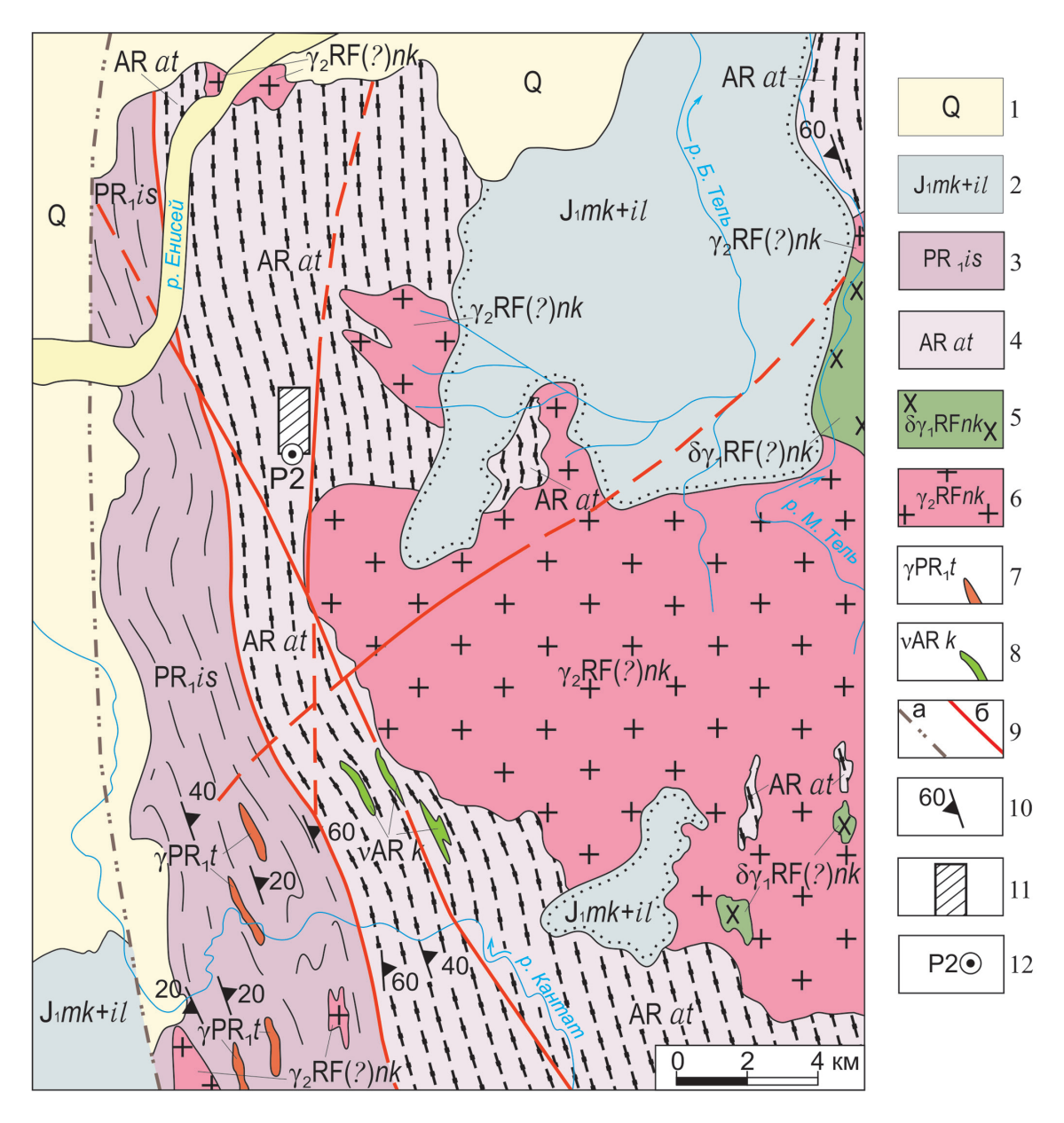


Рис. 1. Схематическая геологическая карта масштаба 1: 200 000 (составил К.А. Заблоцкий).

1 – четвертичные песчано-галечниковые отложения террас р. Енисей (Q); 2 – песчаники, алевролиты, аргиллиты с прослоями бурых углей макаровской и иланской свит нижней юры (J_1mk+il); 3 – нижнепротерозойские гнейсы, кристаллосланцы и амфиболиты исаевской серии енисейского метакомплекса (PR_1is); 4 – архейские гранат-биотитовые и биотит-кордиеритовые плагиогнейсы и кристаллосланцы атамановской метасерии канского метакомплекса (ARat); 5 – диориты и роговообманковые гранодиориты I фазы ($\delta\gamma_1RF(?)nk$); 6 – порфиробластические биотитовые плагиограниты и пегматиты II (главной) интрузивной фазы ($\gamma_2RF(?)nk$); 7 – гнейсограниты и граниты таракского комплекса нижнего протерозоя (γPR_1t); 8 – габбро и габбро-нориты кимбирского комплекса архея (νARk); 9 – разрывные нарушения главные (а) и второстепенные (б); 10 – элементы залегания гнейсовидной полосчатости; 11 – контур участка "Енисейский"; 12 – местоположение поисковой скважины 12.

Fig. 1. Schematic geological map, scale 1: 200 000 (prepared by K.A. Zablotsky).

1 – Quaternary sand-pebble terrace deposits of the Yenisey River (Q); 2 – sandstone, siltstone, mudstone with brown coal interlayers of the Makarovskaya and Ilanskaya formations of the Lower Jurassic age (J_1mk+il) ; 3 – Lower Proterozoic gneiss, crystalline schists and amphibolites of the Isayevskaya series of the Yenisey metacomplex (PR_1is) ; 4 – Archaean garnet-biotite and biotite-cordierite plagiogneiss and crystalline schists of the Atamanovo metaseries of the Kan metacomplex (ARat); 5 – diorites and horn-blende granodiorites of the 1st phase $(\delta\gamma_1RF(?)nk)$; 6 – porphyroblastic biotite plagiogranites and pegmatites of the 2nd (main) intrusive phase $(\gamma_2RF(?)nk)$; 7 – gneiss-granites and granites of the Taraksky complex of the Early Proterozoic age (γPR_1t) ; 8 – gabbro and gabbro-norites of the Kimbirsky Archaean complex (vARk); 9 – faults: main (a) and secondary (δ) ; 10 – dip and strike of gneissoid banding; 11 – contour of the Yenisey site; 12 – location of prospecting borehole P2.

запад. Осевая плоскость структуры, находящаяся за пределами участка, в бассейне р. Кантат, запрокинута на юго-запад под углом около 60°. На востоке гнейсовая структура прорвана интрузией нижне-канских гранитов, на западе по тектоническому нарушению контактирует с нижнепротерозойскими отложениями исаевской серии.

Площадь участка сложена переслаивающимися мигматизированными плагиогнейсами и силлиманит-кордиеритовыми гнейсами и сланцами (рис. 2). Переслаивание отчетливо проявляется по окраске — светло-серой, серой у плагиогнейсов и серой, темно-серой с зеленоватым и голубоватым оттенками у силлиманит-кордиеритовых кристаллосланцев и гнейсов.

Наиболее распространенные на участке, *плагио- гнейсы* занимают около 50% объема толщи, состоят преимущественно из плагиоклаза (55–60%) и кварца (30–40%). Темноцветы представлены биотитом и мусковитом. Микроструктура лепидогранобластовая с размером зерен около 0.5–1.0 мм. Все минералы чуть удлинены, подчеркивая гнейсовидность (рис. 3а).

Биотит образует прерывистые цепочки, определяя гнейсовидность, обладает темно-коричневой окраской с резким плеохроизмом. По краям чешуй-

ки замещены рутилом, при больших скоплениях образуют "бахрому" вокруг зерен. В оторочках вокруг рудного минерала биотит замещен хлоритом и серицит-мусковитовым агрегатом. Обогащенные биотитом разности гнейсов тяготеют к верхним горизонтам разреза.

Плагиоклаз (олигоклаз, редко андезин) представлен короткотаблитчатыми кристаллами с комбинированными двойниками (карлсбадского, периклинового и альбитового законов). В межзерновом пространстве развита незначительная сыпь серицито-мусковита, "перетертый" биотит, пленочный ортоклаз. Здесь же в плагиоклазе появляется мирмекит. Минерал обладает резким облачным погасанием и трещиноватостью.

Кварцевые зерна обычно имеют овальноокруглую форму с плавными очертаниями границ, выделяясь на фоне угловатых зерен плагиоклаза. Минерал пластически деформирован, обладает фронтальным погасанием, трещины катаклаза залечены пленочной регенерацией. В кварце преимущественно распространены включения циркона и короткопризматического апатита. Рудный минерал, соизмеримый с главными породообразующими минералами, занимает межзерновое пространство, тяготея к биотиту.

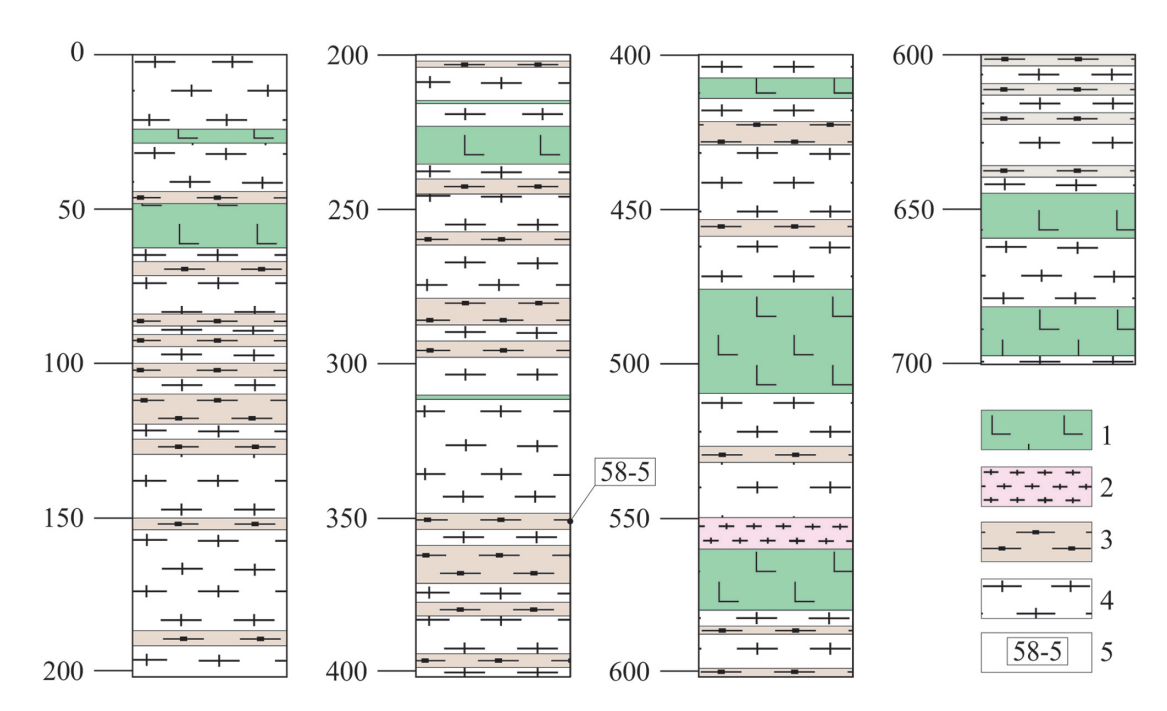


Рис. 2. Литологическая колонка скв. Р2.

1 — секущие тела пород основного состава, 2 — гранитогнейсы среднезернистые двуполевошпатовые, 3 — силлиманит-кордиеритовые парагнейсы, 4 — биотитовые плагиогнесы, 5 — интервал отбора пробы Р2 для изотопно-геохронологических исследований — 350.1—365.3 м (58-5).

Fig. 2. Lithological column of Borehole P2.

1- mafic cross-cutting bodies, 2- medium-grained two-feldspar granite-gneiss, 3- sillimanite-cordierite paragneiss, 4- biotite plagiogneiss, 5- P2 isotope-geochronological sampling interval - 350.1-365.3 m (58-5).

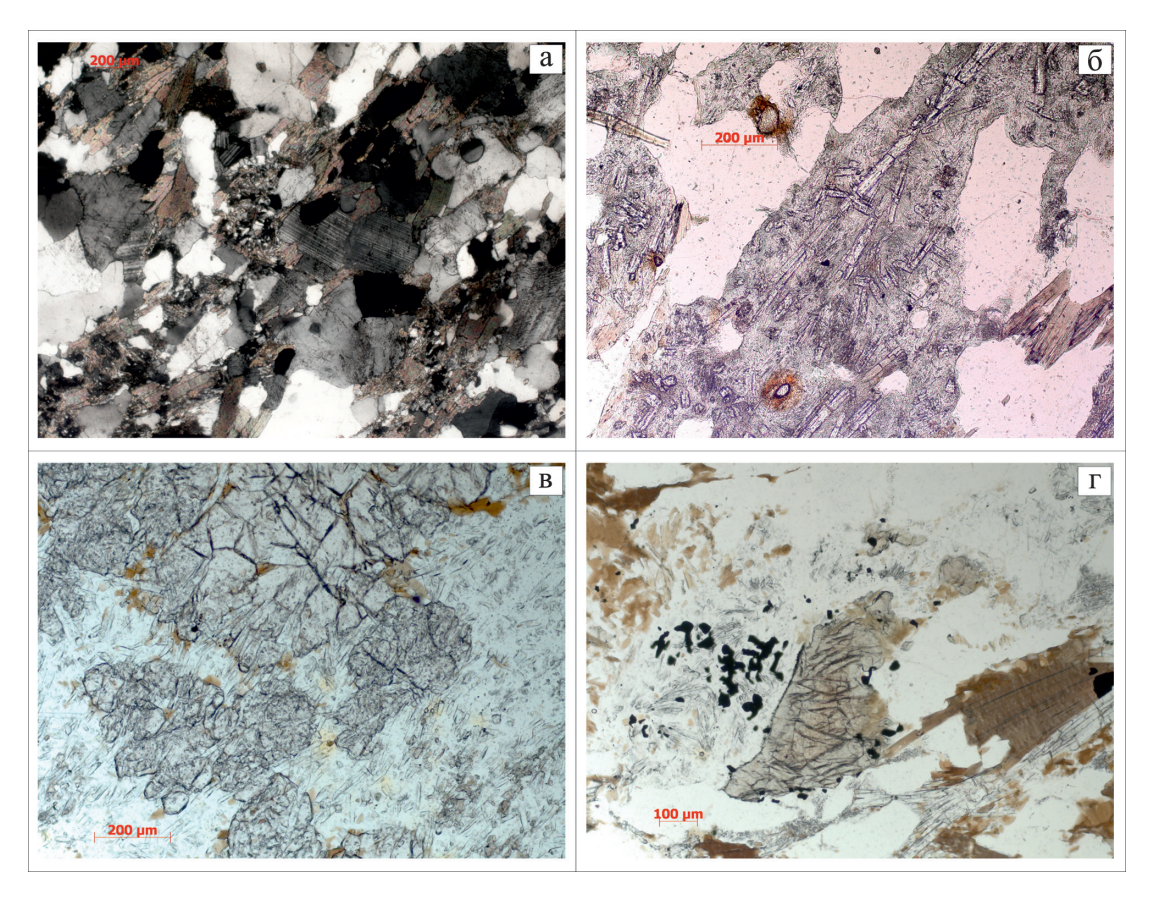


Рис. 3. Микроструктуры и состав гнейсов, вскрытых скв. Р2.

а — биотитовый плагиогнейс; б — силлиманит-кордиеритовый гнейс (агрегат иголок силлиманита развит по пинитизированному кордиериту, вокруг циркона в кордиерите видны плеохроичные дворики); в — силлиманит-гранатовый гнейс (силлиманит развит в основной кварц-полевошпатовой ткани и замещает гранат); г — силлиманит-гиперстеновый гнейс (гиперстен замещается биотитом и силлиманитом, агрегаты силлиманит-магнетитовых симплектитов развиты в основной ткани породы). Фотографии шлифов: а — с анализатором, б—г — в параллельных николях.

Fig. 3. Microtextures and composition of gneiss varieties intersected in Borehole P2.

a – biotite plagiogneiss; δ – sillimanite-cordierite gneiss (the aggregate of sillimanite needles is developed on pinitized cordierite, pleochroic haloes are developed around zircon); B – sillimanite-garnet gneiss (sillimanite is developed in the main quartz-feldspar tissue and replaces garnet); B – sillimanite-hypersthene gneiss (hypersthene is replaced by biotite and sillimanite, sillimanite-magnetite simplectite aggregates are developed in the main rock tissue). Thin section photo: B – polarized light, B – without analyzer.

Силлиманит-кордиеритовые гнейсы составляют 18–20% разреза толщи, состоят из плагиоклаза (25–30%), кварца (10–35), кордиерита (5–40), силлиманита (3–10), ортоклаза (до 25), биотита (до 15%), примесей циркона (1–3), рутила (до 1), рудного минерала (1–5), иногда шпинели (до 1%) и рубина (ед. з.). Микроструктура гнейсовидная. Иногда в разрезе толщи наблюдаются массивные без видимой полосчатости кордиеритсодержащие породы (фельсы) мощностью до первых десятков метров. Размер зерен 0.5–1.0 до 4.0 мм.

Биотит равномерно распределен в породе, подчеркивает гнейсовидность. По краям зерна подвергнуты катаклазу — "шелушению", чешуйки часто изогнуты, надломаны, содержат постоянную тонкую сыпь вторичного рутила, иногда замещаются мусковитом.

Кордиерит образует в породе почти мономинеральные полоски. В участках, где развит кордиерит, изменения более интенсивные. Кордиерит нацело замещен бледно-зеленым пинитом, бесцветным мусковитом (с размером чешуек – 0.05 мм) и примесью кварца. Во вторичном агрегате пинита отмечаются включения коричневого биотита, рудного минерала, часто с каемками силлиманита. Тонкие призмочки силлиманита (до 0.4 мм по удлинению) встречаются в виде гломеробластовых скоплений в пините независимо от присутствия в нем рудного минерала (рис. 3б). Среди бледнозеленого пинита обычны ржаво-бурые шаровидные плеохроичные образования вокруг зерен циркона. В агрегатах пинитизированного кордиерита "окнами" сохраняются реликты корродированного плагиоклаза. В нескольких случаях в рудном минерале наблюдались включения зеленой шпинели (0.02 мм).

Плагиоклаз представлен плохо оформленными табличками двойникового строения. Минерал в разной степени интенсивности замещается серицитом, иногда количество его достигает 50–55%. В промежутках между зернами мутного плагиоклаза проявлены рассредоточенные агрегаты кварца, слегка вытянутые по гнейсовидности. Зерна имеют плавно извилистые очертания.

Ортоклаз развит в виде ксенобластических зерен размером до 1 см в поперечнике в центральных участках кварц-калишпатовых новообразований. Обособления минерала неравномерно-зернистые, пропитаны серицитовым агрегатом и пелитом, содержат гнезда флогопита и мусковита. Агрегаты новообразований очищены от рудного минерала, циркон сохраняется, но в чрезвычайно корродированных мелких частицах.

В нижней части разреза отмечаются прослои гранат-полевошпатовых и гиперстен-плагиоклазовых гнейсов. Характерной особенностью пород является развитие в них силлиманита, замещающего гиперстен, гранат, биотит, плагиоклаз (рис. 3в, г).

Химический состав палеосомы мигматитов характеризуется перекрытием содержаний петрогенных оксидов в плагиогнейсах и силлиманит-кордиеритовых гнейсах из разных участков толщи, но устанавливаются повышенные концентрации TiO_2 , Al_2O_3 , Fe_2O_3 , FeO, MgO и K_2O в силлиманит-кордиеритовых гнейсах по сравнению с плагио-

гнейсами. В последних более высокие концентрации отмечаются для SiO_2 , CaO и Na_2O (табл. 1).

Реконструкция исходного состава гнейсов проведена на основе химических силикатных анализов с использованием диаграммы FAK A.А. Предовского (1980). Фигуративные точки состава пород расположены в совмещенном поле эталонных магнезиально-железистых туффитов и малоглинистых граувакк. Судя по показателям химического состава гнейсов (A = 0.02-0.1; F = 0.08-0.28; K = -0.03-0.03) (рис. 4), исходные породы представляли собой незрелые продукты коры химического выветривания пород основного состава, основу которых составляли клинохлор-пеннин, серпентин, тальк, сепиолит и в меньшей степени селадонит-глауконит.

Неосома мигматитов гранитоидного состава с мелко-среднезернистой гипидиоморфной структурой. Она состоит из биотита 1–3%, плагиоклаза № 26 (40–70), микроклина (15–20), кварца (20–25%), спорадически встречающихся кордиерита и граната. Акцессорные циркон и рудный минерал тяготеют к выделениям биотита и других темноцветов. Неосома образует в мигматитах инъекционные линзовидно-полосчатые и пятнистые метасоматические обособления мощностью 2–3 см и более. Объем неосомы в мигматитах увеличивается от 20% в верхней части разреза толщи до 30% в нижней.

Мигматитовая толща рассекается дайками основного состава. Они занимают около 15–20%

Таблица 1. Химический состав гнейсов

Table 1. Chemical composition of gneiss

Оксид		Плагиогнейсы		Силлиманит-кордиеритовые гнейсы							
	4/441.2	4/399.2	8/442.8	5/591.2	7/566.2	7/628.3					
SiO ₂	60.300	69.620	76.090	53.640	64.460	68.880					
TiO_2	0.800	0.670	0.180	1.090	0.770	0.720					
Al_2O_3	16.130	13.290	12.230	18.790	14.930	12.980					
Fe_2O_3	9.880	5.610	2.270	12.890	7.260	5.800					
FeO	5.210	3.740	1.320	6.090	3.960	4.040					
MnO	0.110	0.067	0.043	0.120	0.074	0.061					
MgO	3.010	1.930	0.610	5.130	2.800	2.580					
CaO	2.550	2.780	3.730	2.250	2.340	2.160					
Na_2O	2.700	2.950	1.350	2.050	2.430	2.130					
K_2O	3.660	2.440	2.570	3.520	3.730	3.840					
P_2O_5	0.110	0.110	0.056	0.092	0.088	0.085					
П.п.п.	0.490	0.320	0.620	0.130	0.850	0.510					
Сумма	99.740	99.790	99.750	99.700	99.730	99.750					
S	0.016	0.009	0.006	0.005	0.007	0.012					
CO_2	0.080	0.080	0.220	0.120	0.170	0.220					
F	0.100	0.085	0.028	0.120	0.089	0.070					

Примечание. Содержание оксидов в мас. % на высушенное при 105°С вещество. Анализы выполнены в ЦЛ ОАО "Красноярск-геология", аттестат аккредитации № РОСС RU 0001 21 4C 25 от 04.02.2009.

Note. Content of oxides in wt % per substance dried at 105°C. Analyses were performed in the Central Laboratory of Krasnoyarskgeologia JSC, accreditation certificate No. ROSS RU 0001 21 4C 25 dated 04.02.2009.

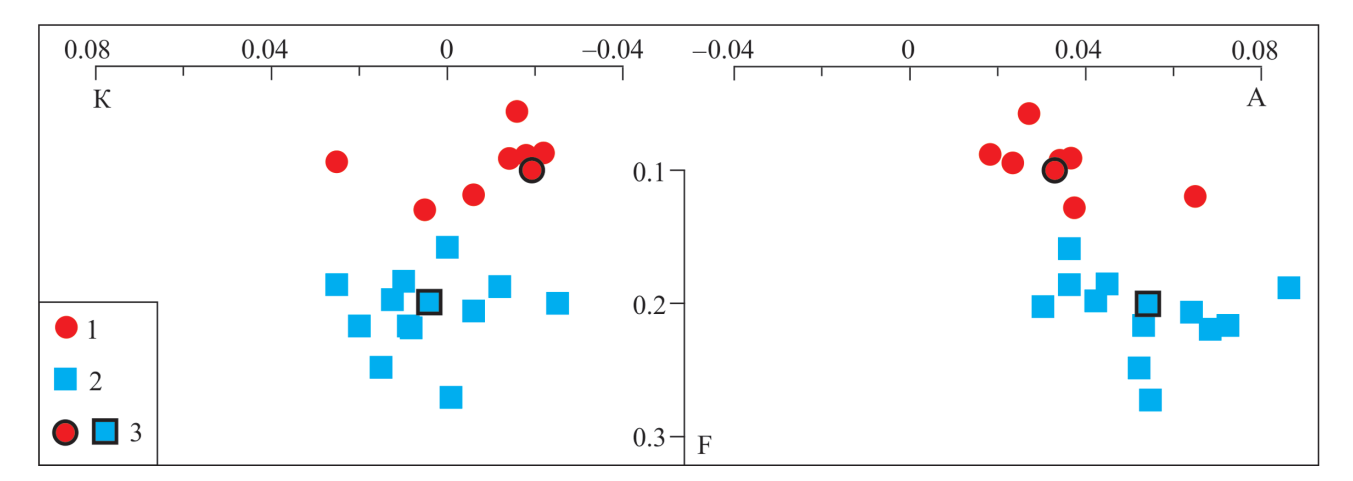


Рис. 4. Диаграмма FAK реконструкции первичного состава пород по А.А. Предовскому (1980).

1 — биотитовые плагиогнейсы, 2 — силлиманит-кордиеритовые гнейсы, 3 — средние значения состава разновидностей пород.

Fig. 4. FAK diagram of reconstruction of the initial rock composition after A.A. Predovsky (1980).

1 - biotite plagiogneiss, 2 - sillimanite-cordierite gneiss, 3 - average values of the composition of rock varieties.

вскрываемого скважинами разреза толщи. Мощность даек от десятков сантиметров до 40 м и более.

Первыми внедрились полого падающие на восток-юго-восток под углами от 10 до 45° дайки габбро-диабазов, секущие гнейсовую толщу под углами 45–50°. Внедрение происходило до завершения главной фазы метаморфизма атамановской метасерии.

Во второй этап внедрились маломощные круто падающие дайки черных с зеленоватым оттенком мелкозернистых габбро-диабазов. Они секут дайки первого этапа. В эндоконтактах породы имеют зоны закалки.

Завершился дайковый магматизм внедрением даек трахидолеритов и вогезитов. Они располагаются в системе диагональных трещин, к которым приурочены дайки второго этапа внедрения, но являются секущими по отношению к ним.

Гранитоидный магматизм раннепротерозойского возраста (таракского комплекса) проявился в виде инъекционной мигматизации стратифицированных пород и цементации древних зон брекчирования.

На северо- и юго-востоке в 2 км от участка расположен Нижне-Канский массив гранитоидов. Линзовидные и линзовидно-прожилковые штокверковые образования сателлитов интрузии распространены на участке. Породы имеют пегматоидный облик и гранитный состав. Мощность жил достигает одного метра. Они сопровождаются тонким прожилкованием кварц-полевошпатового и кварц-кальцитового состава с редкой вкрапленностью сульфидов.

МЕТОДЫ, РЕЗУЛЬТАТЫ И ОБСУЖДЕНИЕ ИССЛЕДОВАНИЙ

Из силлиманит-кордиеритового парагнейса (проба P2 — 350.1—365.3 (58-5), массой 1 кг) выделена монофракция циркона. Минерал в преобладающем количестве имеет розовую, розовато-коричневую окраску. Небольшая часть окрашена в желтовато-коричневый цвет от светлых до темных тонов. Все зерна округлые от удлиненных до шаровидных, прозрачные в разной степени, с алмазным блеском. Присутствуют мутные зерна с метамиктным распадом.

Зерна циркона всех размеров и морфологических типов были отобраны, установлены в эпоксидную шашку и полировались до тех пор, пока большая часть зерен циркона экспонировалась в центре зерна. Цирконы проанализированы на U, Th и изотопы Pb в Музее минералогии и геологии (г. Дрезден) с помощью масс-спектрометра LA-SF-ICP-MS (аналитик У. Линнеманн). Нормирование результатов проводилось по сертифицированным данным международного стандартного образца GJ-1, разработанных Национальным ключевым центром по геохимической эволюции и металлогении континентов Австралийского исследовательского совета (ARC GEMOC) (Stasey, Kramers, 1975).

Результаты указывают на начало кристаллизации циркона на рубеже 3221 ± 15 млн лет назад (в палеоархее) и последующие неоднократные изменения U-Pb системы вплоть до раннего протерозоя (1832 млн лет назад) (табл. 2, рис. 5). Эти данные позволяют считать возможной метаморфическую природу части зерен, при этом нельзя исключить аллохтонный характер некоторых зерен, особенно с редкой встречаемостью. Исходя из этого,

Таблица 2. Результаты изотопного анализа и возраст цирконов силлиманит-кордиеритового гнейса (палеосомы мигматита, проба Р2 – 350.1–365.3 (58-5) Je D7 _ 350 1_365 3 (58_5)

%					_				_							_												_										\neg
	66	101	86	66	105	100	66	103	100	102	100	100	102	100	102	102	101	86	100	103	86	103	96	100	66	95	100	100	101	100	66	66	86	96	100	101	86	107
2s, Ma	17	21	26	25	34	26	47	25	38	29	19	16	19	26	31	20	27	29	31	21	23	26	20	22	21	32	23	17	27	13	22	21	22	71	15	21	39	32
207 <u>Pb</u> 206 Pb	1832	1838	1840	1849	1861	1864	1867	1867	1877	1879	1898	1905	1907	1909	1916	1919	1936	1939	1941	1946	1953	1958	1966	1982	1988	1993	2002	2012	2012	2012	2039	2082	2092	2093	2098	2149	2251	2398
2s, Ma	22	23	27	23	28	25	4	59	34	25	26	22	21	27	28	24	56	32	59	21	21	23	35	24	35	30	27	26	24	22	28	32	26	45	21	37	31	32
$\begin{array}{c ccccccccccccccccccccccccccccccccccc$	1827	1847	1821	1842	1913	1862	1853	1892	1880	1898	1897	1910	1923	1910	1932	1939	1946	1923	1936	1980	1934	1992	1930	1978	1978	1940	1999	2009	2022	2016	2028	2077	2070	2054	2099	2154	2226	2414
2s, Ma	38	39	43	36	4	41	69	51	55	39	46	40	35	45	45	43	43	55	46	37	34	38	63	41	64	48	48	47	38	42	50	09	46	51	40	73	48	- 85
206 <u>Pb</u> 238U	1823	9581	1805	9881	1962	1861	1841	1915	1883	1915	1897	1914	1937	1911	1947	1957	9561	6061	1932	2013	9161	2026	1896	1974	8961	1891	1997	7006	2032	2019	2018	2071	2048	2015	6607	2160	2200	2434
Rho ⁴	0.93	06.0	88.0	98.0	81	87	98.0	91	0.85	82	0.94	94	68.0	68.0	84	0.92	98.0	06.0	84					68.0	95			0.95				0.94	06.0	_	0.93		٠ <u>٠</u>	.83
Rh		0	-	<u>.</u>	0.81	0.87	0	0.91	 —	0.82	0	0.94	<u>.</u>	<u>.</u>	0.84	0.0			0.84	<u>.</u>	<u>.</u>	-	0.0	0	0	<u>.</u>	0.91	0	<u>.</u>	0	0.92	0	0	···	0.0	96.0	0.7	0.9
2s,	0.9	1.2	4.	1.4	1.9	1.4	2.6	1.4	2.1	1.6	1.1	0.0	1.1	1.4	1.7	1.1	1.5	_	1.7	1.1	1.3	1.4	1.1	1.2	1.2	1.8	1.3	0.0	1.5	0.7	1.2	1.2	1.2	4.0	0.0	1.2	2.3	I.y
$\frac{207}{206} \overline{Pb}^{\underline{3}}$	0.11201	0.11236	0.1125	0.11304	0.1138	0.11397	0.11416	0.11417	0.1148	0.11493	0.11615	0.11665	0.11677	0.11685	0.11732	0.11754	0.11865	0.11884	0.11895	0.11931	0.1198	0.1201	0.12068	0.12175	0.12218	0.12249	0.12314	0.1238	0.12381	0.12384	0.12575	0.1288	0.12954	0.12962	0.13004	0.13383	0.14192	0.15461
2s, %	2.5	2.7	3.1	2.6	3.2	2.9	5.0	3.3	4.0	2.9	3.0	2.6	2.4	3.1	3.2	2.8	2.9	3.7	3.3	2.4	2.4	2.6	4.0	2.7	4.0	3.4	3.1	2.9	2.7	2.5	3.1	3.6	2.9	5.0	2.4	4.1	3.4	3.4
$egin{array}{c c c c c c c c c c c c c c c c c c c $	5.0477	5.1673	5.01099	5.13588	5.58289	5.25856	5.20342	5.44546	5.36972	5.48111	5.47994	5.55841	5.64179	5.55831	5.70348	5.74869	5.79953	5.64631	5.73045	6.03064	5.7183	6.11343	5.68848	6.01354	6.01596	5.75643	6.16413	6.23118	6.32461	6.27985	6.37199	6.72952	6.68048	6.55876	6.90128	7.34607	7.95843	9.78035
2s, %	2.4	2.4	2.7	2.3	2.6	2.5	4.3	3.0	3.4	2.4	2.8	2.4	2.1	2.7	2.7	2.5	2.5	3.3	2.8	2.1	2.0	2.2	3.8	2.4	3.8	5.9	2.8	2.7	2.2	2.4	2.9	3.4	5.6	5.9	2.2	3.9	2.6	7.8
206 <u>Pb</u> 3 238U).32683	0.33355).32306	32951).35582	33465	33057	34593	33925	0.34589	34218	0.3456	35042	34498	35258	.35471	0.3545	0.3446	34939	0.3666	0.3462	36919	0.34188	35824	0.35711	.34083	0.36305	0.36505	0.3705).36777	36751	37892	0.37401	0.367	38491	0.39812	0.40671	0.4588
206 <u>Pb</u> 204 Pb	127935 (19397 (9950	36550 (68091 (36026 (105217								81458		_		_			98066				88088			222828			15960	\dashv
Th ² U	0.17	0.05	0.18	68.0	0.38	0.04	0.47	0.12	0.02	0.11	0.13	0.16	0.10	0.21	0.27	0.27	0.41	0.31		0.01	0.25	0.17	0.18	0.13	0.24	0.14	0.26	0.29	0.89	0.42	0.39	0.19	0.01	00.0	0.25	0.78	0.31	0.06
Pb ² ,	175	44						177			_	97												_	316			_					101	_	_		48	
\mathbb{U}^2 , 1		131	90	121	10						688														811							254				27	105	07
, t												_																_										_
²⁰⁷ Pb ¹ cps	144201	41505	154199	65704	26327	54903	11288	156952	128590	41412	300321	122672	192931	72297	12177	13414	27629	252013	265408	97221	122705	211799	247576	89802	289600	164505	162809	165986	27416	220174	1111144	121855	111058	309083	106252	56145	49204	6144
Номер	a30	b02	a13	a54	b19	a47	a55	a02	90q	a44	a14	a46	a45	a12	a40	a25	a22	b16	a35	a20	a29	a51	a41	b20	609	a33	a05	a53	a48	a24	a26	a01	b01	a19	a07	a38	a16	b11

0

Габлица 2. Окончание

	Conc ⁵ , %	100	100	100
	2s, Ma	12	15	15
	$\frac{207}{206} \overline{Pb}$	2409	2779	3221
	2s, Ma	24	23	25
	$\frac{207\underline{\mathbf{Pb}}^3}{235\overline{\mathbf{U}}}$	2409	2784	3224
	2s, Ma	49	20	61
	$\frac{206 \overline{Pb}}{238 \overline{U}}$	2410	2790	3229
	Rho^4	96.0	0.93	0.93
	2s, %	0.7		6.0
	$\frac{207}{206} \overline{Pb}_{2}^{3}$	0.15564	0.19432	0.25575
	2s, %	2.5	2.4	2.5
	$\frac{207}{235} \overline{\text{Pb}^{\frac{3}{2}}}$	9.72699	14.50863	22.92865
	2s, %	2.4	2.2	2.4
	$\frac{206 \mathbf{Pb}^3}{238 \mathbf{U}}$	0.45326	0.54151	0.65023
	206 <u>Pb</u> 204 Pb	50592	27804	73705
	Th ² U	0.21	0.37	0.15
	Pb²,	72	25	292
	U², ppm	145	39	391
Inding	207 Pb 1 , cps	78758	54002	464403
Table 2. Ending	Номер	a28	a50	a34

1Обычный Рь откорректирован по измеренному сигналу ²⁰⁷Рь, имп/с. ²Конпектовнии II и Рь и отчопение Тъ/II въпислены по стандартному объязи

Откорректированы по фону массового смещения U-Рь фракционирования, индуцированного лазером, и общий Рь по модели Stacey & Kramers (Gerdes, Zeh, 2006). 207Рь/235U c_{128} использованием отношения (c_{207} Pb/ c_{248} U/ c_{2 50к (две стандартные ошибки) и воспроизводимости стандартного образда GJ-1 (2 стандартных отклонения). Ошибки 207 РБ 1206 РВ рассчитаны по (Jackson et al., 2004) Концентрации U и Pb и отношение Th/U вычислены по стандартному образцу GJ-1 с точностью 10%. Rho — коэффициент корреляции ошибок $(^{206}\text{Pb}/^{238}\text{U})/(^{207}\text{Pb}/^{235}\text{U})$

³Conc – коэффициент конкордантности.

¹Common Pb was corrected on the basis of the measured signal ²⁰⁷Pb, imp/s.

The errors of ²³⁸U/²⁰⁶Pb were defined within the square deviation within the measured errors (two standard errors) and The values were corrected for the background of mass displacement of U-Pb fractioning induced by laser and total Pb as per Stacey & Kramers model (Gerdes, Zeh, 2006). 207Pb/235U cal-The U and Pb concentrations and the Th/U ratio were calculated on the basis of a standard specimen GJ-1 with the accuracy approximately 10%. eproductivity of the standard specimen GJ-1 (2 standard deviations). The errors of 207Pb/206Pb were calculated by (Jackson et al., 2004) culated with the use of the ratio $({}^{207}\text{Pb}/{}^{206}\text{Pb})/({}^{238}\text{U}/{}^{206}\text{Pb}) \times \dot{1}/137.88)$. Rho – coefficient of correlation of $(^{206}\text{Pb}/^{238}\text{U})/(^{207}\text{Pb}/^{235}\text{U})$ errors.

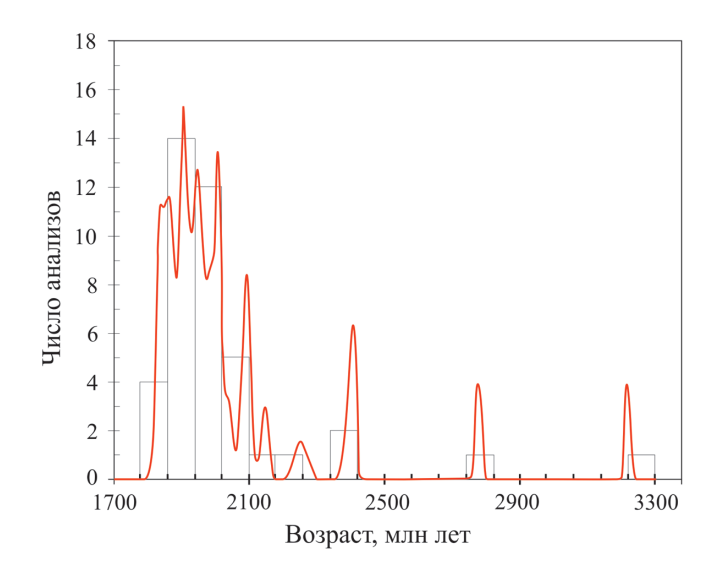


Рис. 5. График возрастной вероятности датировки циркона.

Красная линия — кривая плотности вероятности распределения возрастов присутствующих цирконов (программа Isoplot/Ex, рассчитано по 207 Pb/ 206 Pb).

Fig. 5. Diagram of age probability of zircon dating.

Red line – curve of density of the present zircons age distribution probability (Isoplot/Ex software, calculated on the basis of ²⁰⁷Pb/²⁰⁶Pb).

проанализированные зерна циркона могут быть разделены на пять групп, отвечающих важнейшим этапам формирования континентальной коры.

Первая группа – 1 зерно. Возраст 3221 млн лет. В палеоархейское время древнейшие осадочновулканические толщи Южно-Енисейского жа подверглись складчатости и плутонометаморфизму гранулитовой фации, сформировалась древняя кора Ангаро-Канского блока Сибирского кратона (Кузнецов, 1941, 1946). Ю.А. Кузнецов провел петрографическое сопоставление пород комплекса с архейскими породами Кольского полуострова, Анабара, Алдана, Индии и Восточной Африки. U-Рь датирование цирконов Алданского гранулитового ареала (Глебовицкий и др., 2010), Йркутского блока гранулитов (Туркина, 2010) и более ранние исследования (Волобуев и др., 1980) в Южно-Енисейском кряже подтверждают выводы Ю.А. Кузнецова. Однако в публикациях (Лиханов и др., 2010, 2014; Ножкин и др., 2009, 2010; Попов и др., 2010; Туркина, 2010; Туркина и др., 2012) рассматривается более молодой возраст (≈2.0-1.9 млрд лет) гранулитового метаморфизма Южно-Енисейского кряжа. Возраст циркона (3221 млн лет) из силлиманит-кордиеритового гнейса, вероятно, отражает плутонометаморфическое событие палеоархейского возраста в формировании полиметаморфических пород канского метаморфического комплекса. По нашему мнению, геохронологические модели развития региона требуют дополнительного изучения.

Вторая группа — 1 зерно. Возраст 2779 млн лет. Цирконы возраста 2.7—2.5 млрд лет принадлежат протолиту вмещающих парагнейсов Ангаро-Канского блока (Ножкин и др., 2009, 2010; Туркина, 2010; Туркина и др., 2012).

В мезоархейское время в регионе проявился активный вулканизм. Вулканический материал сформировал осадочно-вулканогенные толщи енисейского метакомплекса, в том числе исаевскую серию. Тектонические и магматические преобразования этого этапа в развитии Южно-Енисейского кряжа отразились в появлении возрастов циркона в гнейсах канского метаморфического комплекса.

Третья группа – 2 зерна. Возраст 2398–2409 млн лет. По мнению О.М. Туркиной (Туркина и др., 2012), цирконы возраста 2.4–1.92 млрд лет характеризуют протолит мафических гранулитов региона. В раннепалеопротерозойское время в западной части Южно-Енисейского кряжа осадочновулканогенные толщи енисейского комплекса подверглись складчатости и метаморфизму амфиболитовой—эпидот-амфиболитовой фаций. Вероятно, в завершение этого времени формировались гнейсограниты березовского комплекса.

Четвертая группа – 7 зерен. Возраст 2039–2251 млн лет. Раннепротерозойское время в Ангаро-Канском блоке проявился преимущественно рифтогенный магматизм основного состава.

Пятая группа — 30 зерен. Возраст 1832—2116 млн лет. А.Д. Ножкин, О.М. Туркина в последних публикациях (Ножкин и др., 2009, 2010; Попов и др., 2010; Туркина, 2010; Туркина и др., 2012) придерживаются мнения, что в этот период территория Южно-Енисейского кряжа подверглась гранулитовому метаморфизму (1.9 млрд лет), а в восточной части формировался Таракский гранитный массив (1.84 млрд лет).

Основное количество цирконов в исследуемом гнейсе связано с мигматизацией. Гнейсы атамановской и кузеевской серий практически в полном объеме преобразованы в мигматиты, палеосома которых представлена минеральными ассоциациями низкотемпературной области гранулитовой и амфиболитовой фаций длительного ретроградного метаморфизма. На завершающем этапе формирования мигматитов они прорваны дайками долеритов комаровского комплекса.

ВЫВОДЫ

Кордиерит-силлиманитовые парагнейсы палеосомы мигматитов атамановской метасерии содержат цирконы с возрастом в интервале $3221 \pm 15 - 1832 \pm 17$ млн лет. Распределение плотности возрастов предполагают главные тектоно-магматические рубежи в формировании толщи.

Палеоархейский возраст одиночных цирконов (не моложе 3221 ± 15 млн лет) в изученном гнейсе датирует проявление гранулитового плутонометаморфизма, сформировавшего канский метаморфический комплекс архейской коры Ангаро-Канского блока Сибирского кратона.

Мезоархейские (2779 ± 15 млн лет) цирконы отражают интенсивный вулканизм основного состава, сформировавший осадочно-вулканогенные толщи енисейского комплекса.

Раннепалеопротерозойский (2398 \pm 32–2409 \pm \pm 12 млн лет) возраст цирконов обязан проявлению складчатости, метаморфизму отложений енисейской серии и формированию гранитогнейсов березовского комплекса.

В раннепротерозойское (1832 ± 17–2012 ± 13 млн лет) время образовались многочисленные цирконы в связи с мигматизацией гнейсов канского метаморфического комплекса, длительным ретроградным метаморфизмом преимущественно в амфиболитовой фации. На завершающем этапе внедрились дайки основного состава.

Результаты получены в рамках выполнения государственного задания Минобрнауки России (проект № $5.2352.2017/\Pi$ Ч).

СПИСОК ЛИТЕРАТУРЫ

Бибикова Е.В., Грачева Т.В., Макаров В.А., Ножкин А.Д. (1993) Возрастные рубежи в геологической эволюции раннего докембрия Енисейского кряжа. Стратиграфия. Геологическая корреляция, 1(1), 35-40.

Волобуев М.И., Зыков С.И., Ступникова М.И., Воробьев И.В. (1980) Свинцово-изотопная геохронология докембрийских метаморфических комплексов югозападного ограничения Сибирской платформы. Геохронология Восточной Сибири и Дальнего Востока. М.: Наука, 14-31.

Глебовицкий В.А., Седова И.С., Бережная Н.Г., Ларионов А.Н., Саморукова Л.М. (2010) Древнейшее метаморфическое событие Алданского гранулитового ареала (Восточная Сибирь): результаты локального датирования цирконов ультраметаморфогенных гранитоидов. Докл. АН, 431(6), 797-801.

Ковригина Е.К. (1971) Опыт формационного анализа метаморфических толщ на примере Ангаро-Канской части Енисейского кряжа. *Тр. ВСЕГЕИ*, **158**, 116-127.

Кузнецов Ю.А. (1941) Петрология докембрия Южно-Енисейского кряжа *Материалы по геологии Западной Сибири*, № 15 (57). Томск: Изд. ЗСГУ, 240 с.

Кузнецов Ю.А. (1946) Докембрий Енисейского кряжа. *Изв. АН СССР. Сер. геол.*, (4), 75-93.

Легенда Енисейской серии государственной геологической карты Российской Федерации (2002) Масштаб 1:200 000. Министерство природных ресурсов РФ, ФГУГП "Красноярскгеолсьемка". Красноярск.

Лиханов И.И., Ревердатто В.В., Вершинин А.Е. (2010) Геохимия, природа и возраст протолита нижнепротерозойских железисто-глиноземистых метапелитов Заангарья Енисейского кряжа. Докл. АН, 433(3), 378-385.

- Лиханов И.И., Ножкин А.Д., Ревердатто В.В., Козлов П.С. (2014) Гренвильские тектонические события и эволюция Енисейского кряжа, западная окраина Сибирского кратона. *Геотектоника*, (5), 32-53.
- Ножкин А.Д., Туркина О.М., Баянова Т.Б. (2009) Раннепротерозойские коллизионные и внутриплитные гранитоиды юго-западной окраины Сибирского кратона: петрогеохимические особенности, U-Pbгеохронологические и Sm-Nd-изотопные данные. Докл. АН, 428(3), 386-391.
- Ножкин А.Д., Дмитриева Н.В., Туркина О.М., Маслов А.В., Ронкин Ю.Л. (2010) Метапелиты нижнего докембрия Енисейского кряжа: РЗЭ-систематика, источники сноса, палеогеодинамика. Докл. АН, 434(6), 796-801.
- Попов Н.В., Лиханов И.И., Ножкин А.Д. (2010) Мезопротерозойский гранитоидный магматизм в Заангарской части Енисейского кряжа: результаты U-Pb-исследований. Докл. АН, **431**(4), 509-515.
- Предовский А.А. (1980) Реконструкция условий седиментогенеза и вулканизма раннего докембрия. Л.: Наука, 152 с.
- Сазонов А.М., Ананьев А.А., Полева Т.В., Хохлов А.Н., Власов В.С., Звягина Е.А., Федорова А.В., Тишин П.А., Леонтьев С.И. (2010) Золоторудная металлогения Енисейского кряжа: геолого-структурная

- позиция, структурные типы рудных полей. *J. Siberian Federal University. Engineering & Technologies*, (4), 371-395.
- Туркина О.М. (2010) Этапы формирования раннедокембрийской коры Шарыжалгайского выступа (югозапад Сибирского кратона): синтез Sm-Nd и U-Pb изотопных данных. *Петрология*, **18**(2), 168-187.
- Туркина О.М., Бережная Н.Г., Лепехина Е.Н., Капитонов И.Н. (2012) Возраст мафических гранулитов из раннедокембрийского метаморфического комплекса Ангаро-Канского блока (юго-запад Сибирского кратона): изотопный U-Pb, Lu-Hf и редкоземельный состав циркона. Докл. АН, 445(4), 450-458.
- Gerdes A., Zeh A. (2006) Combined U-Pb and Hf isotope LA-(MC-) ICP-MS analyses of detrital zircons: Comparison with SHRIMP and new constraints for the provenance and age of an Armorican metasediment in Central Germany. *Earth Planet. Sc. Lett.*, **249**, 47-61.
- Jackson S.E., Pearson N.J., Griffin W.L., Belousova E.A. (2004) The application of laser ablation inductively coupled plasma mass spectrometry to in situ U-Pb zircon geochronology. *Chem Geol.*, 211, 47-69.
- Stacey J.S., Kramers J.D. (1975) Approximation of terrestrial lead isotope evolution by a two-stage model. *Earth Planet. Sc. Lett.*, **26**, 207-221.

Geochronology of sillimanite-cordierite gneiss Atamanovo series of the South Yenisei Ridge (Russia)

A. M. Sazonov*,**, K. A. Zablotsky***, U. Linnemann****, E. A. Zvyagina*,**, N. A. Nekrasova*,**, E. A. Naumov****, S. A. Sil'yanov*,**

*Siberian Federal University

**Research Tomsk State University

***Krasnoyarskgeologiya

****Museum for Mineralogy and Geology, Dresden, D-01109, Germany

*****Institute of Geology and Mineralogy Siberian Branch of RAS

The paper provides justification of Paleo Archaean age (3221 ± 15 Ma) of the granulite plutonic metamorphism that formed the Kan metamorphic complex of the Archaean crust in the Angara-Kan block of the Siberian craton. The age was defined on the basis of zircon and was calculated as per $^{207}\text{Pb}/^{206}\text{Pb}$. Zircon was extracted from cordierite-sillimanite gneiss of the Atamanovo series. Gneiss contains zircons of the Meso-Archaean, Lower Paleo Proterozoic and Lower Proterozoic gneiss characterizing successive tectono-magmatic events reflected in paleometamorphite.

Key words: Siberian craton, Angara-Kan block, Atamanovo series, gneiss, zircon, Paleo Archaean.

REFERENSES

Bibikova E.V., Gracheva T.V., Makarov V.A., Nozhkin A.D. (1993) Age Stages in the Geological Evolution of the Early Pre-Cambrian Age of the Yenisei Ridge. *Stratigr. Geol. Korrel.*, **1**(1), 35-40. (In Russian)

Volobyev M.I., Zykov S.I., Stupnikova M.I., Vorob'ev I.V. (1980) Lead-Isotope Geochronology of Pre-Cambrian Metamorphic Complexes in the Southwestern Ending of

the Siberian Platform. *Geokhronologiya Vostochnoi Sibiri i Dal'nego Vostoka* [Geochronology of Eastern Siberia and the Far East]. Moscow, Nauka, 14-31. (In Russian)

Glebovitsskii V.A., Sedova I.S., Berezhnaya N.G., Larionov A.N., Samorykova L.M. (2010) Most Ancient Metamorphic Event of the Aldan Granulitic Halo (Eastern Siberia): Results of Local Dating of Zircons from Ultra-Metamorphogene Granitoids. *Dokl. Akad. Nauk*, **431**(6), 797-801. (In Russian)

- Kovrigina E.K. (1971) Experience of Formational Analysis of Metamorphic Strata by the Example of the Angara-Kan Part of the Yenisey Ridge. *Tr. VSEGEI*, **158**, 116-127. (in Russian)
- Kyznetsov Ju.A. (1941) Petrology of Pre-Cambrian Formations of the South Yenisei Ridge. *Materialy po geologii Zapadnoi Sibiri*, **57**(15), 240. (In Russian)
- Kyznetsov Ju.A. (1946) Pre-Cambrian Stage of the Yenisei Ridge. *Izv. Akad. Nauk SSSR. Ser. Geol.*, (4), 75-93. (In Russian)
- Legenda Eniseiskoi serii gosydarstvennoi geologicheskoi karty Rossiiskoi Federatsii (2002) Masshtab 1 : 200 000 [Legend of the Yenisei Series of the State Geological Map of the Russian Federation. Scale 1 : 200 000]. Krasnojarsk. (In Russian)
- Likhanov İ.I., Nozhkin A.D., Reverdatto V.V., Kozlov P.S. (2014) Grenville Tectonic Events and Evolution of the Yenisey Ridge, Western Margin of the Siberian Craton. *Geotektonika*, (5), 32-53. (In Russian)
- Likhanov I.I., Reverdatto V.V., Vershinin A.E. (2010) Geochemistry, Nature and Age of the Protolyte of Lower Proterozoic Ferriferous-Alumina Metapelites in the Angara Region of the Yenisei Ridge. *Dokl. Akad. Nauk*, **433**(3), 378-385. (In Russian)
- Nozhkin A.D., Dmitrieva N.V., Tyrkina O.M., Maslov A.V., Ronkin Yu.L. (2010) Pre-Cambrian metapelites of the Yenisey Ridge: Rare Earth systematics, demolishen sources, Paleogeodynamics. *Dokl. Akad. Nauk*, **434**(6), 796-801. (In Russian)
- Nozhkin A.D., Turkina O.M., Bayanova T.B. (2009) Early Proterozoic Collision and Intraplate Granitoids of the Southwestern Margin of the Siberian Craton: petrochemical features, U-Pb-geochronological and Sm-Nd-isotope data. *Dokl. Akad. Nauk*, **428**(3), 386-391. (In Russian)

- Popov N.V., Likhanov I.I., Nozhkin A.D. (2010) Meso-Proterozoic Granitoid Magmatism in the Angara Part of the Yenisey Ridge: Results of U-PB Studies. *Dokl. Akad. Nauk*, 431(4), 509-515. (In Russian)
- Sazonov A.M., Anan'ev A.A., Poleva T.V., Hokhlov A.N., Vlasov V.S., Zvyagina E.A., Fedorova A.V., Tishin P.A., Leont'ev S.I. (2010) Metallogeny of the Yenisei Ridge: Geological and Structural Position, Structural Types of Ore fields. *J. Siberian Federal University. Engineering & Technologies*, (4), 371-395. (In Russian)
- Turkina O.M. (2010) Stages of Formation of the Early Pre-Cambrian Crust of the Sharyzhalgaysky Protrusion (Southwest of the Siberian Craton): Sm-Nd and U-Pb Synthesis of Isotope Data. *Petrologiya*, **18**(2), 168-187. (in Russian)
- Tyrkina O.M., Berezhnaya N.G., Lepekhina E.N., Kapitonov I.N. (2012) Age of mafic granulites from the Early Pre-Cambrian metamorphic complex of the Angara-Kan Block (Southwest of the Siberian Craton): Isotope U-Pb and Lu-Hf and Rare-Earth Composition of Zircon. *Dokl. Akad. Nauk*, **445**(4), 450-458. (in Russian)
- Gerdes A., Zeh A. (2006) Combined U-Pb and Hf isotope LA-(MC-) ICP-MS analyses of detrital zircons: Comparison with SHRIMP and new constraints for the provenance and age of an Armorican metasediment in Central Germany. *Earth Planet. Sc. Lett.*, **249**, 47-61.
- Jackson S.E., Pearson N.J., Griffin W.L., Belousova E.A. (2004) The application of laser ablation inductively coupled plasma mass spectrometry to in situ U-Pb zircon geochronology. *Chem. Geol.*, 211, 47-69.
- Stacey J.S., Kramers J.D. (1975) Approximation of terrestrial lead isotope evolution by a two-stage model. *Earth Planet. Sc. Lett.*, **26**, 207-221.